

## مقایسه گام‌های زمانی روزانه، ماهانه و سالانه در مدل‌های هارگریوز-سامانی و پنمن-مانتیث\_فائق برای تخمین تبخیر تعرق مرجع در حوضه آبریز زاینده رود

اسماعیل ادیب مجد<sup>\*</sup>، رسول میرعباسی<sup>۲</sup>، مهدی اسدی<sup>۳</sup>، سید حسن طباطبائی<sup>۴</sup>

تاریخ ارسال: ۱۴۰۱/۱۲/۲۷

تاریخ پذیرش: ۱۴۰۲/۰۴/۱۷

DOI: 10.22103/nrswe.2023.21236.1034

### چکیده

تبخیر تعرق مرجع ( $ET_0$ )، حداقل مقدار آب خروجی برای یک پوشش گیاهی بهخصوص (مثل چمن، یونجه یا یک سطح کشت استاندارد) است. تاکید فائق<sup>۵</sup> بر اندازه‌گیری پارامترهای هواشناسی در ارتفاع دو متری بالای چمن سبزی است که در سطح وسیع کشت شده، زمین را به طور کامل پوشانده و فاقد کمبود آب باشد. رابطه پنمن مانتیث فائق<sup>۶</sup> (PMFAO) برای محاسبه  $ET_0$  پیشنهاد شد. در ایستگاه‌های هواشناسی کشاورزی که محصور در مناطق تحت کشت ساخته می‌شوند، دستگاه‌های اندازه‌گیری برخلاف ایستگاه‌های سینوپتیک شرایط هواشناسی مشابه با گیاهان پیرامون ایستگاه را ثبت می‌کنند. از این‌رو در گزارش فائق، روش جایگزین برای محاسبه  $ET_0$  توصیه نمی‌شود. در پژوهش حاضر روش هارگریوز-سامانی (HS) و روش PMFAO<sup>۷</sup> در دوره زمانی ۲۵ ساله از ۱۹۹۵ تا ۲۰۱۹ به صورت روزانه در حوضه زاینده‌رود (۲۹ ایستگاه) مورد ارزیابی قرار گرفت. نتایج نشان داد در گام زمانی روزانه اختلاف دو روش زیاد (ضریب نش از ۰/۶۳ تا ۰/۸۷) است. در گام ماهیانه، اختلاف دو روش به‌طور کلی قابل اغماض است (ضریب نش از ۰/۰ تا ۰/۹۶). در گام‌های سالانه (ضریب نش بالای ۰/۸) نتایج دو روش بسیار نزدیک به هم هستند. ولی در ایستگاه‌های مختلف رفتار مشابهی دیده نشد. به عنوان مثال در ایستگاه کبوترآباد برعکس ایستگاه شرق اصفهان همواره به روش HS از PMFAO بیشتر است. بنابراین در عمل برای تخمین  $ET_0$  به روش HS توصیه می‌شود حداقل با نزدیک‌ترین ایستگاه سینوپتیک و با روش PMFAO صحت سنجی شده و پس از ارزیابی به کار گرفته شود.

**واژگان کلیدی:** تبخیر تعرق مرجع، حوضه آبریز رودخانه زاینده‌رود، روش پنمن-مانتیث\_فائق، روش هارگریوز-سامانی، ضریب تشت تبخیر، نقشه هم تبخیر تعرق مرجع.

Email: e.adibmajd@stu.sku.ac.ir

\* - نویسنده مسئول و دانشجوی دکترا مراجع آب، گروه مهندسی آب، دانشگاه شهرکرد، شهرکرد، ایران.

<sup>۱</sup> - دانشیار گروه مهندسی آب، دانشگاه شهرکرد، شهرکرد، ایران.

<sup>۲</sup> - دانشیار گروه مهندسی آب، دانشگاه شهرکرد، شهرکرد، ایران.

<sup>۳</sup> - دانشیار گروه مهندسی آب، دانشگاه شهرکرد، شهرکرد، ایران.

<sup>۴</sup> - دانشیار گروه مهندسی آب، دانشگاه شهرکرد، شهرکرد، ایران.

همچنین تابع باد فراهم آمد. با فرض یاد شده  $ET_0$  که معرف سطح کشت تعريف شده بود استاندارد سازی شد (Walter et al. 2005). روش PMFAO توسط مؤسیات و محققین زیادی در سراسر دنیا و برای اقلیم‌های مختلف مورد تأیید قرار گرفته است. محققین سعی کردند روش‌های تجربی محاسبه  $ET_0$  را با روابطی ساده و یا با استفاده از کمترین پارامترهای اقلیمی ارائه دهند. روش‌های دیگری نیز مثل روش هارگریوزسامانی (HS) در ایران و دنیا موردنویجه قرار گرفته‌اند. این روش بهویژه در مناطق خشک و گرم، ضمن این‌که داده‌های هواشناسی کمتری نسبت به PMFAO نیاز دارد، تطابق بسیار خوبی را با این روش نشان داد. فائق ۵۶ معادله HS را زمانی که ممکن است داده‌های آب و هوایی کافی برای تخمین  $ET_0$  توسط Allen et al. (1998). نتایج برخی از تحقیقات از قبیل (Almorox et al. 2015) حاکی از این است که روش HS دقیق‌ترین عملکرد را در اقلیم‌های خشک، نیمه‌خشک، معتدل، سرد و قطبی ارائه می‌دهد. روش HS برای پاکستان نتایج قابل اعتماد و دقیقی از  $ET_0$  ارائه داد (Shah 2022). در بخش مرکزی چین با بررسی ۶۴۷ ایستگاه اندازه‌گیری، رابطه HS، همبستگی خوبی در بازه زمانی ماهیانه با PMFAO برقرار کرد (Xia et al. 2020). اقدام برای بهبود ضرایب درروش HS در هند و مقایسه آن با روش PMFAO، منجر به تأیید روش HS گردید و استفاده از این روش پیشنهاد شد (Niranjan and Nandagiri, 2021). مجموعه داده روزانه ۴۹ ایستگاه پراکنده در حوضه Duero (اسپانیا)، برای دوره ۲۰۰۰ تا ۲۰۱۸، بهمنظور تخمین  $ET_0$  با دیدگاه زمانی (سالانه یا فصلی) و مکانی استفاده شد. نتایج نشان داد عملکرد مدل‌های به کار گرفته شده، بسته به سالانه یا فصلی بودن مقیاس بهطور قابل توجهی تغییر می‌کند ولی در مقیاس فصلی مدل HS در بعضی فصول، نتیجه مثبتی نشان داد (Moratiel et al. 2020). در ایران هم تحقیقات کم‌وبيش جامعی انجام شده است. تخمین ( $ET_0$ ) با استفاده

**مقدمه**  
به‌طور کلی مهم‌ترین عامل در فرآيند آب، خاک، گیاه و اتمسفر را می‌توان تبخیر و تعرق ذکر کرد. بخار آب وقتی از روزندهای گیاه خارج می‌شود، تعرق و بخار شدن آب از خاک، تبخیر نامیده می‌شود (Penman 1948). با فرض عدم محدودیت برای تعرق گیاه و همچنین تبخیر از سطح، حداقل مقدار تبخیر و تعرق را تبخیر تعرق پتانسیل ( $ET_p$ ) می‌نامند. بنابراین در تعريف  $ET_p$ ، میزان تبخیر و تعرق به محصول خاصی مربوط نمی‌شود (Allen 1996). در سال‌های میانی دهه ۱۹۴۰ میلادی دو روش موسوم به روش آبودینامیک و روش توازن انرژی برای محاسبه تبخیر تعرق ابداع شد. بعد به تدریج روش‌های ترکیبی، روش‌های تجربی و دیگر روش‌ها توسعه پیدا کرد. در ابتدا سطح تبخیر، یک سطح گستره از آب فرض شده بود (Blaney 1948). پس از آن محققین ارزشمندی همچون (Cridle 1950; Jensen and Haise 1963; Thorntwaite 1948; Priestley and Taylor 1972) دیگران سعی در اصلاح، ساده‌سازی یا توسعه رابطه پمن داشتند. (Hargreaves 1975) رابطه ساده‌ای را با استفاده از دمای متوسط بر حسب درجه سانتی‌گراد و تشعشع فرامینی پیشنهاد کرد که بر اساس آن تبخیر تعرق مرجع ( $ET_0$ ) برای سطح چمن قابل محاسبه بود. Monteith (1981) نسبت به اصلاح معادله پمن اقدام کرد، به این صورت که معادله‌ای برای تبخیر از سطح آب و بعد از مدتی برای محاسبه شدت  $ET_0$  از سطح کاملاً پوشیده از چمن با مبنای فیزیکی ارائه نمود. وی نقش خود گیاه و همچنین نقش کامل آب و هوا را در رابطه تصحیح کرد و کل سطح پوشش گیاهی را به عنوان یک برگ بزرگ<sup>۱</sup> با روزندهای موجود در آن فرض کرد. به تدریج روابط و معادلات  $ET_0$  توسعه یافت تا (Allen et al. 1998) روش پمن مانیث فائق (PMFAO)<sup>۲</sup> را که می‌توان گفت معتبرترین روش تخمین  $ET_0$  است، معرفی کردند. در این روش یک گیاه فرضی با ارتفاع ۱۲ سانتی‌متر و ضریب بازتاب تابش ۰/۲۳ فرض شد و موجبات اصلاح مقاومت آبودینامیک و

<sup>۱</sup>- Big leaf method<sup>۲</sup>-Food and Agriculture Organization of the United Nations, FAO Irrigation and Drainage Paper No. 56 Penman Monteith Method

چهار میلیون نفر است که به عنوان یک حوضه شناخته شده در مجامع بین‌المللی با تنوع اقلیمی است که برای اهداف این پژوهش انتخاب شد. ارتفاعات حوضه در غرب و جنوب و دشت‌ها در شرق حوضه عمدتاً نواحی کشاورزی را تشکیل می‌دهند. داده‌های مورد استفاده در هر ایستگاه شامل مقدار بارش روزانه (میلی‌متر)، حداقل و حداکثر درجه حرارت روزانه (درجه سانتی‌گراد)، حداقل و حداکثر رطوبت نسبی در هر روز، سرعت باد در ارتفاع ده متر که به سرعت باد در دو متری تبدیل شد و درنهایت ساعت‌آفتابی واقعی (ساعت) می‌باشد. همچنین محاسبات  $ET_0$  به روشن HS و تحلیل توزیع مکانی آن در حوضه، با استفاده از کل ایستگاه‌هایی که حداقل و حداکثر درجه حرارت روزانه را ثبت می‌کنند صورت پذیرفت.

**جدول (۱): مشخصات ایستگاه‌های اندازه‌گیری درجه حرارت در حوضه زاینده‌رود**

نام ایستگاه	نوع ایستگاه	مشخصات جغرافیایی (UTM)
ارتفاع	عرض	طول
۲۰۸۵	۴۴۸۷۰۸	۳۶۱۴۰۶
۲۱۴۰	۴۷۵۸۲۷	۳۶۲۱۹۳۹
۱۸۶۴	۴۹۰۱۳۶	۳۵۹۵۷۵۳
۱۶۲۴	۵۴۶۸۷۵	۳۵۹۶۱۹۰
۱۹۸۲	۵۱۷۵۷۲	۳۶۹۷۶۴۴
۱۶۷۰	۵۴۴۸۹۴	۳۶۰۰۰۷۷
۱۸۷۸	۶۴۹۸۸	۳۶۲۴۰۵۹
۱۶۶۳	۵۷۶۱۹۲	۳۵۷۰۵۴۰
۲۱۸۸	۶۰۷۵۷۵	۳۴۸۷۸۹
۱۹۹۶	۵۰۰۹۷۳	۳۶۲۵۰۰
۱۴۹۸	۶۰۲۰۴	۳۵۵۶۹۱
۱۹۹۷	۴۸۹۸۳۳	۳۶۶۶۴۰
۱۶۰۳	۶۰۲۶۹۵	۳۵۷۶۳۱۸
۲۳۶۳	۵۸۲۸۹۵	۳۴۹۵۷۲
۱۵۴۹	۵۶۶۳۷۳	۳۵۹۸۰۶۵
۲۳۲۳	۴۴۴۵۵۱	۳۶۵۰۰۸۳
۲۲۳۵	۵۲۷۶۴۴	۳۵۳۶۴۸۰
۱۷۱۷	۵۳۵۵۰	۳۵۸۴۷۴۰
۱۹۶۷	۴۹۱۶۰	۳۵۹۰۵۰۰
۱۵۴۱	۵۸۰۸۴۵	۳۶۲۳۲۲۲
۱۸۵۶	۵۷۶۵۱۷	۳۵۳۸۶۷۹
۲۵۴۷	۴۱۸۴۵۳	۳۶۴۵۰۰۱
۱۵۴۱	۵۷۸۳۱۰	۳۵۷۷۸۹
۲۳۲۹	۴۱۷۷۸۶	۳۵۹۱۴۱۹
۱۶۷۸	۵۴۲۴۵۱	۳۵۸۰۳۵۳
۱۶۶۹	۵۴۴۹۱۰	۳۶۶۰۱۱۹
۲۰۱۲	۵۱۶۴۹۷	۳۷۰۱۴۱۱
۱۶۳۴	۵۳۶۴۶۸	۳۶۰۷۴۸۷
۱۴۸۳	۶۵۵۵۷۲	۳۵۸۹۶۵۰

از داده‌های ماهانه در ۴۰ ایستگاه پراکنده در سراسر کشور نشان داد که روش‌های HS و PMFAO در صورت استفاده از  $k_{Rs}$  مناسب،  $ET_0$  را برای تمام مناطق آب و هوایی ایران (Raziei and Pereira 2013) قابل قبول، پیش‌بینی می‌کنند. تلاش در محاسبات نیاز آبی آبیاری در حوضه آبریز زاینده رود و دیگر مناطق خشک و نیمه‌خشک با داده‌های آب و هوایی محدود، ضرورت بررسی روش‌هایی را که از داده‌های کمتر استفاده می‌کنند آشکار می‌نماید (Talebmorad et al. 2020). در این حوضه بجز چند نقطه و محدود به دوره زمانی کوتاه با اطلاعات ناقص برای اندازه‌گیری توسط لایسیمتر، داده‌ای در دسترس نیست. از طرفی تعداد ایستگاه‌های هواشناسی که بتوانند داده‌های مطلوب برای روشن HS را در یک دوره آماری درازمدت در اختیار قرار دهند، محدود به چند ایستگاه سینوپتیک می‌باشد. برخلاف توصیه فائو ۵۶ ET\_0 مبنی بر عدم استفاده از روش‌های دیگر برای محاسبه HS در تحقیقات و مطالعات مختلف از روش‌هایی همچون HS استفاده شده است. با توجه به این که روشن HS تنها به داده‌های دمایی اندازه‌گیری شده نیاز دارد، می‌توان گفت این روش ساده است و به نظر می‌رسد که وقتی که داده‌ها از مناطق خشک یا نیمه‌خشک و بدون آبیاری جمع‌آوری می‌شوند، کمتر از روش‌های دیگر تحت تاثیر قرار می‌گیرد (Majidi et al. 2015). در حوضه زاینده رود که تعداد ایستگاه‌ها و پارامترهای اندازه‌گیری با محدودیت شدید رویروست، لازم بود که ملاحظات استفاده از روشن با داده‌های کمتر نسبت به PMFAO که از داده‌های وسیعتری استفاده می‌نماید مورد بررسی قرار گیرد. از آن جایی که لازم بود در این پژوهش گام زمانی روزانه نیز در کنار گام‌های ماهیانه و سالانه تجزیه و تحلیل شود، تولید داده روزانه از نظر زمانی و برای نقاط مختلف در سطح حوضه و همچنین به تولید  $ET_0$  به صورت نیمه توزیعی در کل حوضه در مقیاس‌های مختلف زمانی پرداخته نشده است.

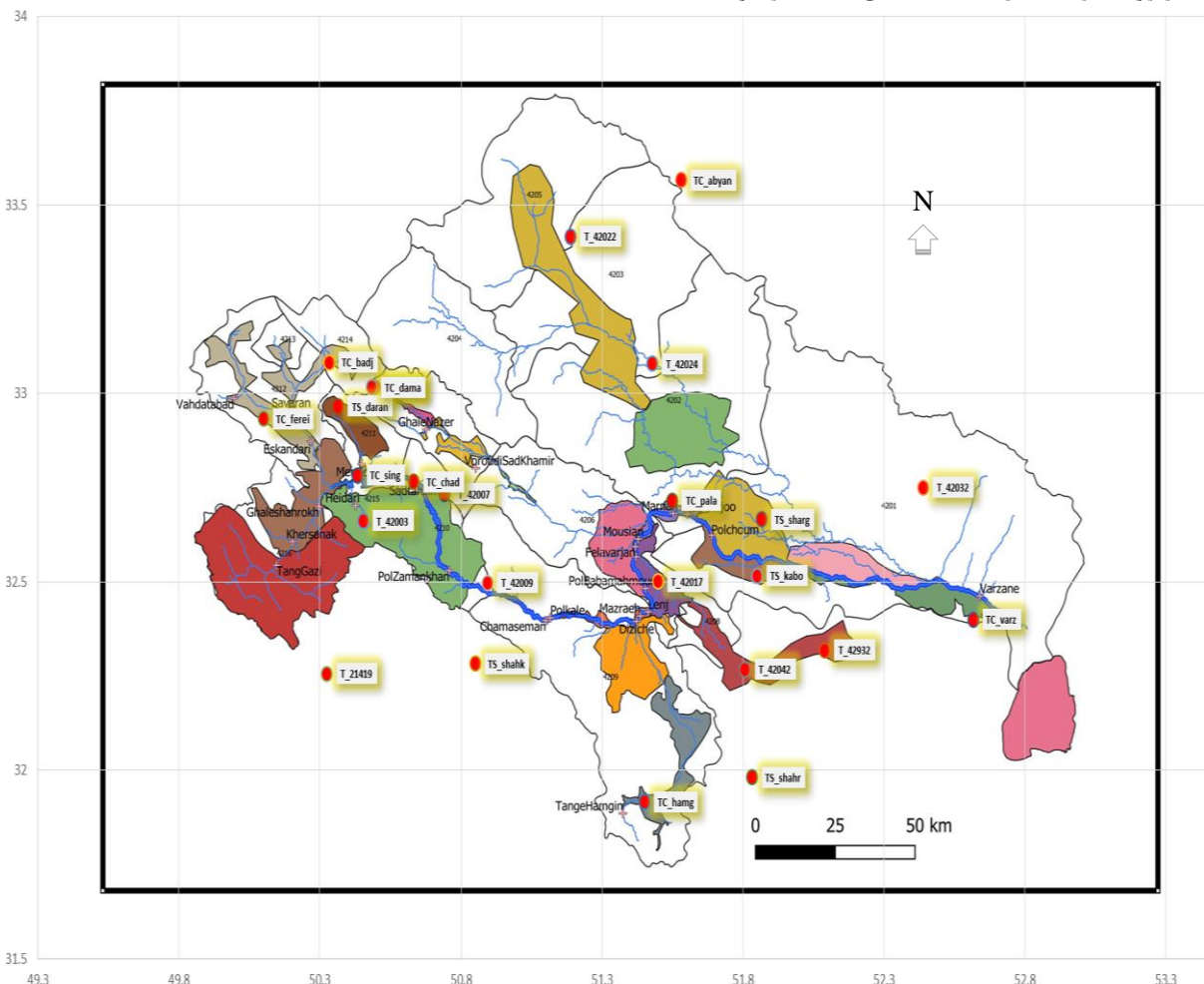
## مواد و روش‌ها

### منابع داده و تحلیل‌ها

مساحت حوضه آبریز زاینده‌رود واقع در فلات مرکزی ایران بیش از ۲۶ هزار کیلومترمربع و دارای جمعیتی بیش از

می شده است. به منظور محاسبه  $ET_0$  از پارامترهای اقلیمی گزارش شده در ایستگاههای سینوپتیک حوضه زاینده رود استفاده شد. ایستگاههای سینوپتیک اصفهان (۴۰۸۰۰)، شرق اصفهان (۴۰۸۰۲)، کبوتر آباد (۴۰۸۰۳)، داران (۴۰۷۸۷)، شهرضا (۴۰۸۱۵)، نجف آباد (۹۹۴۹۷) و مبارکه (۹۹۵۰۶) به لحاظ طول مدت داده های ثبت شده در این پژوهش ۲۵ سال با گامهای روزانه از ۱۹۹۵ تا ۲۰۱۹ در تحلیل های درازمدت و برای روش PMFAO به کار گرفته شدند.

اسامی و مشخصات ایستگاههای تبخیر سنجی وزارت نیرو و همچنین ایستگاههای سینوپتیک سازمان هواشناسی حوضه مذکور بالغ بر ۲۹ ایستگاه در جدول (۱) مشخص شده است. داده های کل ایستگاهها در روش HS استفاده شد. موقعیت این ایستگاهها در شکل (۱) نمایش داده شده اند. در این شکل محدوده نواحی کشاورزی به صورت لکه های رنگی نمایش داده شده اند. بسیاری از ایستگاههایی که هم اکنون سینوپتیک هستند قبل از کلیماتولوژی بوده اند و داده های آنها محدودتر ثبت



شکل (۱): موقعیت ایستگاههای سازمان هواشناسی و وزارت نیرو در حوضه زاینده رود

روزانه تابش خورشیدی، تغییرات رطوبت نسبی و رابطه آن با درجه حرارت و بعضی پارامترهای دیگر مورد توجه واقع شد. در مبحث تبخیر، مهم ترین عامل، گرمای نهان تبخیر<sup>۱</sup>

**مبانی نظری تحقیق**  
ارزیابی و تجزیه و تحلیل داده های هواشناسی قبل از کاربرد آنها توصیه می شود که در پژوهش حاضر، تحلیل قرائت

۱- Latent heat of vaporization

- ۴ - کد ایستگاه

دو متری (متر بر ثانیه)،  $e_a$  فشار بخار اشباع (کیلوپاسکال)،  $e_a$  فشار بخار واقعی (کیلو پاسکال)،  $\Delta$  شیب منحنی فشار بخار (کیلوپاسکال بر درجه سلسیوس) و  $\gamma$  ضریب سایکرومتری (کیلوپاسکال بر درجه سلسیوس) است. یکی دیگر از پارامترهای اندازه‌گیری شده تبخیر از سطح آزاد آب است. تبخیر از تشت با یک ضریب تجربی می‌تواند با  $ET_0$  در ارتباط باشد.

$$ET_0 = K_p \times E_{pan} \quad (5)$$

که در آن  $ET_0$ ، تبخیر-تعرق مرجع،  $E_{pan}$  تبخیر تشت و  $K_p$  ضریب تشت نامیده می‌شوند. در حالتی که ضریب تشت مشخص نیست، رابطه تبخیر از تشت با روش پنمن مانثیت واسنجی گردید.

### روش‌ها

در این پژوهش، برای محاسبه  $ET_0$  از روش PMFAO و همچنین روش HS استفاده شد. محاسبات مربوط به  $ET_0$  به روش فائقو با یک کد به زبان پایتون انجام شد. در کد مزبور پس از ورود داده‌ها و صحت سنجی آن‌ها، برای هر روز در سال میلادی ابتدا محاسبات مربوط به کمبود فشار بخار و همچنین فشار بخار واقعی انجام شد. در ادامه تابش خورشیدی در آسمان صاف<sup>۲</sup> محاسبه گردید. سپس با اعمال اثر ابرناکی و همچنین اصلاح ناشی از رطوبت هوا، مقدار خالص تابش طول موج بلند خروجی حساب شد. درنهایت با داشتن رابطه گرمای نهان تبخیر و دخالت اثر سرعت باد در ارتفاع دو متری، مقدار  $ET_0$  به صورت روزانه استخراج گردید. جزئیات مربوط به این روش در نشریه ۵۶ فائقو موجود است. ابتدا برای ایستگاه‌های سینوپتیک حوضه زاینده‌رود که داده‌های مورد نیاز این روش را اندازه‌گیری می‌نمایند،  $ET_0$  روزانه محاسبه شد. روش HS برای محاسبات  $ET_0$  در ایران و بسیاری از کشورهای جهان بهویژه مناطق گرم و خشک مورد تائید قرار گرفته است. بهمنظور محاسبه روزانه  $ET_0$  به روش HS از یک کد به زبان VBA بهره گرفته شد. الگوریتم به کار گرفته شده در این کد به نحوی برنامه‌نویسی شد که تابش فرازمنی را از روابط مشابه روش قبلی محاسبه و در اختیار قرار دهد. با ورود

است که در محاسبات  $ET_0$  هم کاربرد دارد. این پارامتر طبق تعریف، مقدار گرمایی است که یک گرم آب نیاز دارد تا بدون تغییر درجه حرارت به بخار تبدیل شود. مقدار آن از روابط محاسبه می‌شود.

$$H_v = 597.3 - 0.56 t \quad (1)$$

$$\lambda = 2.501 - 0.002361 t \quad (2)$$

در روابط بالا،  $t$  درجه حرارت بر حسب درجه سانتی‌گراد،  $H_v$  گرمای نهان تبخیر بر حسب کالری و  $\lambda$  گرمای نهان تبخیر بر حسب  $\frac{mJ}{Kg}$  می‌باشد. به طور عمومی گرمای نهان تبخیر برای درجه حرارت ۲۰ درجه سانتی‌گراد  $\frac{mJ}{Kg} = 2/45$  می‌باشد. در محاسبه  $ET_0$  از ضرب مقدار  $\frac{1}{\lambda}$  برای بیان انرژی ورودی هوا در واحد زمان و تبدیل مگا ژول بر مترا مربع در روز به میلی‌متر بر روز استفاده می‌شود. روش HS در ابتدا توسط (Hargreaves 1975) برای هشت سال در فصل سرد در ایالت کالیفرنیا استخراج شد. پس از توسعه و بهبود این روش، درنهایت (Hargreaves and Samani 1985) معادله زیر را ارائه کردند.

$$ET_0 = 0.0023 \frac{1}{\lambda} R_a (\bar{T}_{avg} + 17.8) (T_{Max} - T_{Min})^{0.5} \quad (3)$$

که در آن،  $\lambda$  گرمای نهان تبخیر (مگا ژول بر کیلوگرم)،  $ET_0$  تبخیر تعرق مرجع (میلی‌متر بر روز)،  $T_{Max}$  حداقل دمای روزانه (درجه سانتی‌گراد)،  $T_{Min}$  حداقل دمای روزانه (درجه سانتی‌گراد)،  $\bar{T}_{avg}$  میانگین دمای روزانه (درجه سانتی‌گراد) و  $R_a$  تابش فرازمنی (مگا ژول بر مترا مربع در روز) است.  $ET_0$  با روش PMFAO، برای یک گیاه فرضی با ارتفاع ۰/۱۲ متر، مقاومت سطحی ۷۰ ثانیه بر متر و ضریب بازنابش (آلبیدو) ۰/۲۳ (که تبخیر از آن بسیار به تبخیر از سطح وسیع چمن سبز با ارتفاع یکنواخت شباهت دارد) از رابطه زیر محاسبه می‌شود.

$$ET_0 = \frac{\frac{1}{\lambda} \Delta (R_n - G) + \frac{900}{T+273} u_2 (e_s - e_a)}{\Delta + \gamma (1 + 0.34 u_2)} \quad (4)$$

که در آن  $ET_0$ ، تبخیر-تعرق مرجع (میلی‌متر بر روز)،  $R_n$  تابش خالص ورودی به سطح گیاه مرجع (مگا ژول بر مترا مربع بر روز)،  $G$  شار گرمای خاک (مگا ژول بر مترا مربع بر روز)،  $T$  میانگین روزانه درجه حرارت در ارتفاع دو متری (درجه سانتی‌گراد)،  $u_2$  میانگین روزانه سرعت باد در ارتفاع

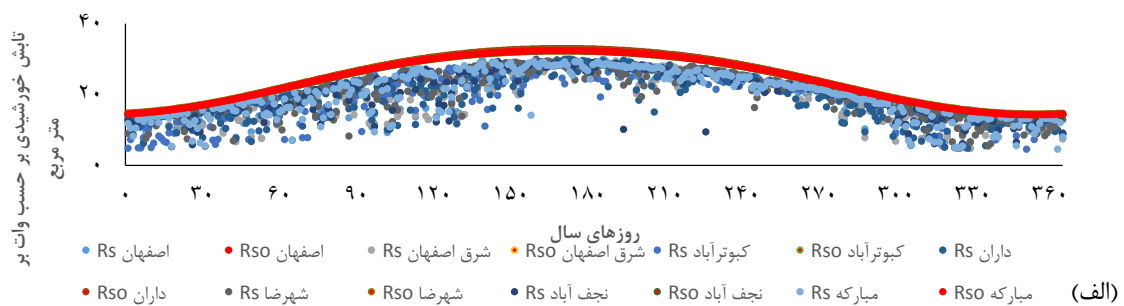
روش میان یابی کریجینگ، مقدار تبخیر تعرق HS برای کل حوضه محاسبه شد. به این ترتیب، امکان مقایسه  $ET_0$  به روش HS با مقادیر  $ET_0$  به روش PMFAO، در ایستگاههای سینوپتیک و با استفاده از دسته داده‌های مرتبط با همه ایستگاهها فراهم شد. مقایسه دو مدل با گامهای زمانی روزانه، ماهیانه و سالانه و همچنین مقایسه مکانی دو مدل می‌تواند به صورت کیفی عدم قطعیت هر روش را تا حدی نمایش دهد. از این‌رو مقایسه‌ها با ضریب نش ساتکلیف انجام شد. به طور کلی هر چه مقدار معیار نش ساتکلیف به عدد یک نزدیک‌تر باشد، نشان‌دهنده کارایی بیشتر است.

### نتایج و بحث

با رسم میانگین قرائت‌های روزانه تابش خورشیدی (Rs) در مقابل تابش طول موج کوتاه محاسبه شده در آسمان صاف ( $R_{SO}$ )، عملکرد پیرانومتر و دقت واسنجی آن برای هفت ایستگاه سینوپتیک حوضه زاینده‌رود و برای ۲۵ سال آماری ارزیابی شد. شکل (۲-الف)، بعنوان نمونه سال ۲۰۱۸ را به تصویر کشیده است و نشان داده شد مقادیر Rs مشاهده شده با  $R_{SO}$  محاسبه شده هم‌خوانی دارد و واسنجی پیرانومترهای مورد استفاده مناسب بوده است. منحنی رطوبت نسبی در مقابل بارش نشان داد ثبت رطوبت نسبی حداکثر به طور قابل قبولی با بارندگی هم‌خوانی دارد. به عبارتی هنگام بارش رطوبت نسبی ثبت شده افزایش چشمگیری دارد. به عنوان نمونه شکل (۲-ب)، بارندگی و رطوبت نسبی را در ایستگاه سینوپتیک اصفهان نشان می‌دهد. همان‌طور که مشاهده می‌شود شماره روزهای ۱۶۰ لغایت ۲۸۰ مربوط به ماههای خرداد تا مهر می‌شود که به علت عدم بارش و گرمای هوا، حداکثر رطوبت نسبی نیز با نوسان کمتر و در حدود ۲۰ الی ۵۰ درصد تغییر داشته است. در این زمان‌ها، عدم وقوع بارش و کاهش چشمگیر رطوبت نسبی مشهود است.

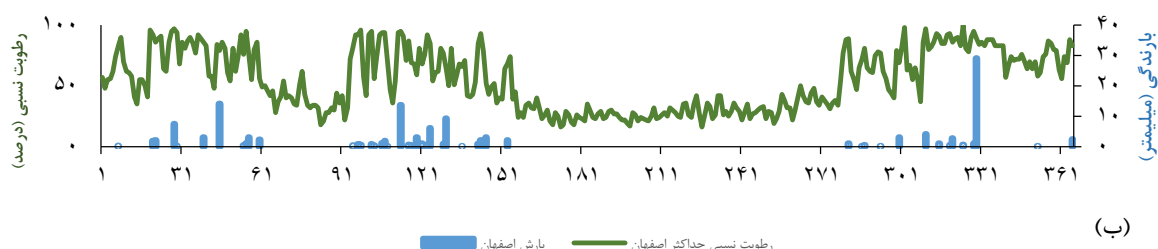
مقادیر حداقل و حداکثر درجه حرارت روزانه، مقادیر  $ET_0$  برای هر روز محاسبه می‌شود. به این ترتیب برای همه ۲۹ ایستگاه در حوضه این مقادیر در اختیار قرار گرفت. در گام بعدی، ضرایب تشت تبخیر با مقایسه میزان تبخیر تشت با مقادیر  $ET_0$  به روش PMFAO به صورت ماهیانه محاسبه و پیشنهاد گردید. بالاخره در گام نهایی با استفاده از داده‌های کل ایستگاههای حوضه زاینده‌رود اعم از ایستگاههای سینوپتیک، ایستگاههای کلیماتولوژی و ایستگاههای تبخیر سنجی وزارت نیرو که همگی درجه حرارت‌های حداقل و حداکثر را ثبت می‌کنند اقدام به محاسبه  $ET_0$  به روش HS شد. نحوه انجام کار به این صورت بود که کلیه ایستگاههای دارای آمار مورد بررسی قرار گرفت و با هدف داشتن یک دوره مشترک درازمدت، ایستگاههای مناسب انتخاب شدند. به منظور تکمیل کمبود داده‌ها و رفع نواقص آماری از مدل شبیه‌ساز اقلیمی<sup>۳</sup> SWAT، استفاده شد. مدل شبیه‌ساز یاد شده، یکی از مدل‌های نرم افزار SWAT قادر است داده‌های اقلیمی گم شده را شبیه‌سازی نماید. به این منظور تعداد ۲۴۲ زیرحوضه یا واحد هیدرولوژیکی، برای پوشش دادن کل محدوده حوضه آبریز رودخانه زاینده‌رود در نظر گرفته شد و برای هر یک از ۲۴۲ زیرحوضه، مقادیر متوسط حداکثر و حداقل درجه حرارت بر حسب درجه سانتی‌گراد در هر کدام از ماههای میلادی دوره آماری ۲۴ ساله ۱۹۹۵ تا ۲۰۱۸ تولید شد. پس از آن مدل شبیه‌ساز اقلیمی، داده‌های اقلیمی را از نزدیک‌ترین ایستگاه هواشناسی برای تک تک زیرحوضه‌ها از پرونده‌های ورودی اخذ و با استفاده از متوسط درازمدت ماهانه پارامتر، توزیع آماری و مشخصات هر پارامتر، نسبت به برآورد پارامتر مربوطه در ۲۴۲ نقطه حوضه اقدام کرد. درنهایت پارامترهای حداکثر و حداقل درجه حرارت ماهیانه برای ۲۴۲ نقطه از حوضه زاینده‌رود از ژانویه ۱۹۹۵ تا دسامبر ۲۰۱۸ محاسبه شد. با نوشتن یک کد VBA، مقدار  $ET_0$  در هر یک از ۲۴۲ زیرحوضه محاسبه شد. با محاسبه این ارقام و به کار بردن

<sup>۳</sup>-The Weather Generator for Soil and Water Assessment Tool (SWAT)

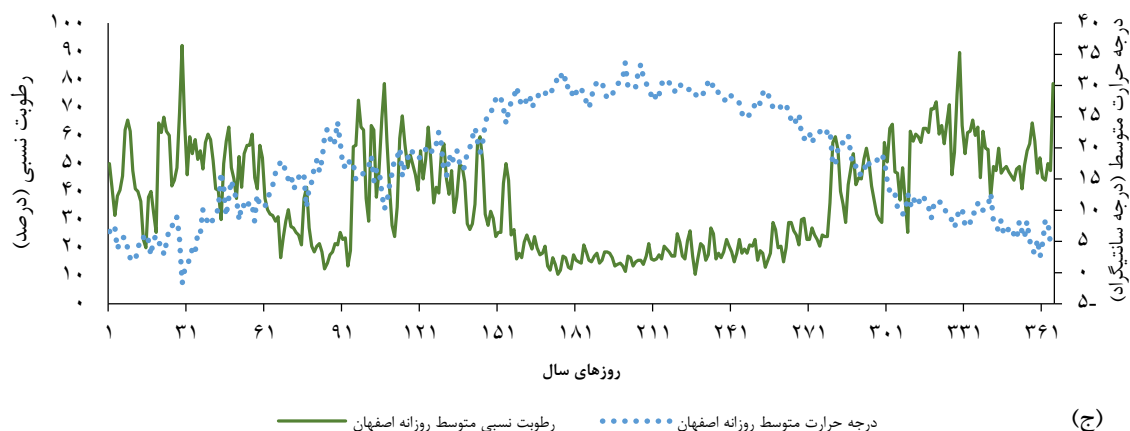
شکل (۲): الف-هم پوشانی متوسط  $RS$  و  $Rho$  برآورد شده - سال ۲۰۱۸

تغییرات ترسیم شده است. کنترل و ارزیابی‌های دیگر بر روی مقادیر محاسباتی و مشاهداتی در هر یک از هفت ایستگاه سینوپتیک مورد بررسی و برای هر سال نشان دهنده داده‌های مناسب از این نظر می‌باشد.

در فصول دیگر به علت وقوع بارندگی رطوبت نسبی حداکثر نیز افزایش داشته و نوسانات آن قابل توجه است. شکل (۲)-ج، به خوبی نشان می‌دهد مقادیر درجه حرارت و رطوبت نسبی رابطه عکس دارند. در این نمودار مقادیر میانگین متحرک هفت روزه هر دو متغیر نیز برای درک بهتر



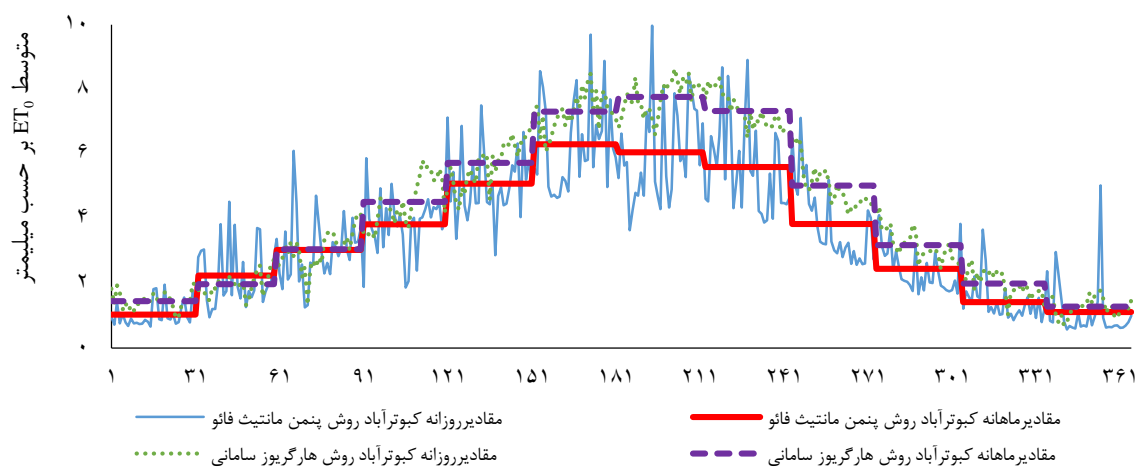
ادامه شکل (۲): ب-نمایش مقادیر رطوبت نسبی و بارش در ایستگاه سینوپتیک اصفهان و محور افقی روزهای سال است



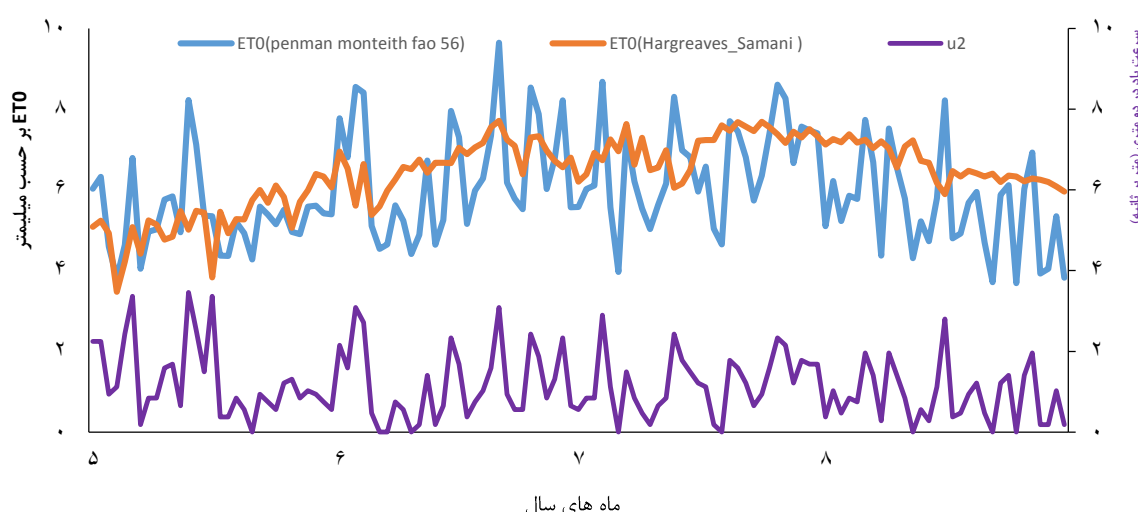
ادامه شکل (۲): ج- نمایش رابطه عکس رطوبت نسبی و درجه حرارت، در ایستگاه سینوپتیک اصفهان و محور افقی روزهای سال است

به دو روش برای کل روزهای سال تطابق کلی را نشان می‌دهد. هر چند نوسانات روزانه دو روش با یکدیگر همخوانی ندارد. همچنین خطوط ضخیم، متوسط ماهیانه را نشان می‌دهد که تطابق بهتر را در ماههای ابتداء و انتهای سال می‌توان به خوبی مشاهده کرد. در شکل (۴)، برای ایستگاه اصفهان، منحنی سرعت باد همزمان با  $ET_0$  در گام روزانه ترسیم شد. در این شکل بخاطر درک بهتر، فقط ماههای پنجم تا هشتم نمایش داده شد.

نمونه این آنالیز برای پارمای آیداهو در سال ۱۹۹۸ منتشر شد (Walter et al. 2005). همچنین (Moreno-Tejera et al. 2015) این روش را تائید کردند. در ادامه، (گام اول) مقادیر  $ET_0$  به روش‌های PMFAO و HS به صورت روزانه در هفت ایستگاه سینوپتیک حوضه آبریز رودخانه زاینده‌رود و برای بازه زمانی ۲۵ ساله از ۱۹۹۴ تا ۲۰۱۹ محاسبه شد. به عنوان نمونه مقادیر روزانه دو روش بالا، برای سال ۱۹۹۴ ایستگاه کبوترآباد در شکل (۳) ارائه شد. در این شکل،  $ET_0$  ایستگاه کبوترآباد در شکل (۳) ارائه شد. در این شکل،  $ET_0$



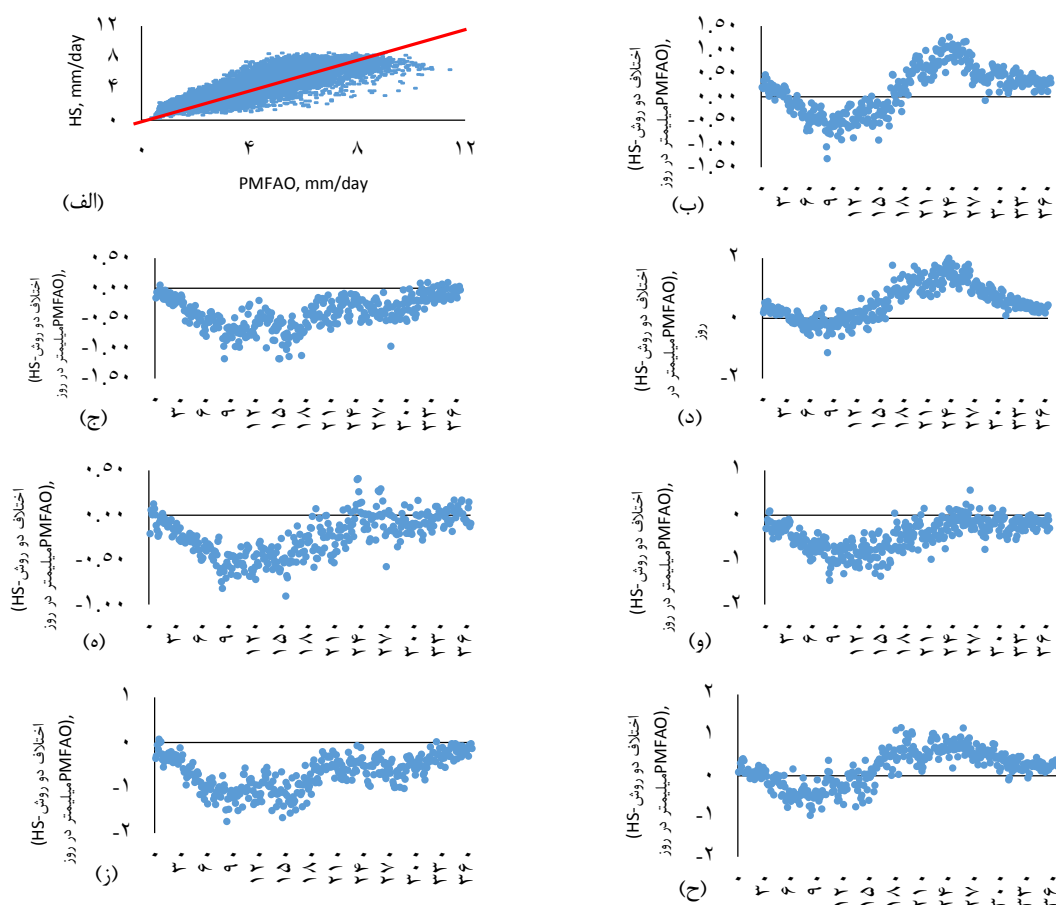
شکل (۳): مقادیر تبخیر-تعرق مرجع پنمن مانتیث و هارگریوز-سامانی در ایستگاه سینوپتیک کبوترآباد-سال ۱۹۹۴



شکل (۴): مقادیر تبخیر-تعرق مرجع پنمن مانتیث و هارگریوز-سامانی به همراه سرعت باد در بعضی ماهها در ایستگاه سینوپتیک اصفهان-سال ۱۹۹۴

(ح) به ترتیب برای ایستگاه‌های شرق اصفهان، کبوترآباد، داران، شهرضا، نجف آباد و مبارکه است. در جدول (۲) دامنه عدم قطعیت داده‌های روزانه درج شد. در مقایسه دو روش در گام زمانی روزانه، ضریب نش ساتکلیف، اعداد قابل قبولی در همه سال‌ها و برای همه ایستگاه‌ها را نشان می‌دهد. مقادیر ضریب کارآئی مدل نش ساتکلیف برای متوسط درازمدت  $ET_0$  بین دو روش مورد پژوهش در جدول (۲) آورده شد. Hargreaves and Allen (2003) نیز برای ۳۰۰۰ ایستگاه در سراسر دنیا رابطه مستقیمی در گام زمانی روزانه بین روش PMFAO با دیگر روش‌ها نیافت و حداقل دوره زمانی با رابطه مناسب را گام زمانی پنج روزه اعلام نمود. در گام دوم، مقادیر  $ET_0$  ماهیانه و سالانه به روش PMFAO و HS با همدیگر مقایسه شدند.

به طور کلی نتایج مقایسه دو روش نشان داد  $ET_0$  به روش PMFAO با استفاده از داده‌های تابش، فشار بخار و سرعت باد، نوسانات روزانه شدیدی را نسبت به روش HS نشان می‌دهد. در شکل (۵-الف)، مقادیر روزانه  $ET_0$  در ایستگاه اصفهان برای دو روش PMFAO و HS در طول دوره بیش از ۲۵ سال و با تعداد ۹۵۸۸ روز در مقابل هم ترسیم شد. پراکنش نقاط نشان دهنده رابطه مناسب دو روش است. ولی برای دریافتن تحلیل درون‌سالی شکل (۵-ب) که اختلاف دو روش را در متوسط کل دوره نشان می‌دهد ترسیم شد. در این شکل محور افقی روز است که با تقسیمات ۳۰ روزه معرف ماههای میلادی ترسیم شده است. از این شکل دریافت می‌شود اختلاف دو روش در مقیاس روزانه حداقل  $\pm 1/5$  میلیمتر در روز است که در ماههای سوم، چهارم و هشتم به اوج می‌رسد. شکل‌های (۵-ج) تا



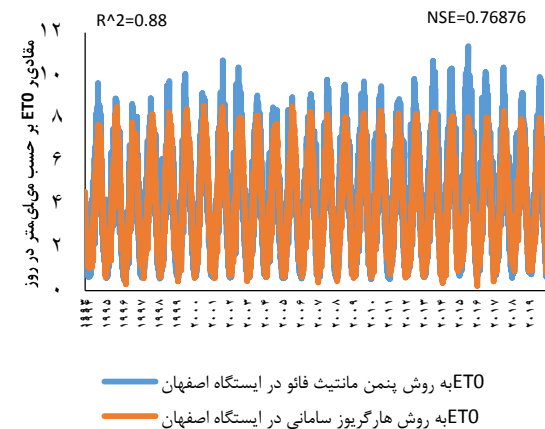
شکل (۵): a: مقادیر  $ET_0$  برای دو روش HS و PMFAO. b: اختلاف دو روش برای متوسط ۲۵ ساله در ایستگاه سینوپتیک اصفهان. c-f: شرق اصفهان، d: کبوترآباد، e: داران، f: شهرضا، g: نجف آباد، h: مبارکه

جدول (۲): مقایسه دو روش تبخیر-تعرق مرجع به روش پنمن-ماتیت-فاؤو و روش هارگریوز-سامانی با ضریب نش ساتکلیف

آیستگاه	ضریب نش ساتکلیف (در روز)	متوسط درازمدت اختلاف دو روش (میلیمتر)			
		حداکثر	حداقل	ماهانه	روزانه
اصفهان	+1/۲۷	-1/۳۲	0/۹۱	0/۷۷	
شرق اصفهان	+0/۱۰	-1/۱۴	0/۹۵	0/۸۷	
کبوتر آباد	+۲/۰۰	-1/۱۴	0/۸۰	0/۶۳	
داران	+0/۴۱	-0/۹۰	0/۹۶	0/۸۷	
شهرضا	+0/۵۶	-1/۴۵	0/۹۱	0/۷۴	
نجف آباد	+0/۰۸	-1/۷۴	0/۸۸	0/۷۸	
مبارکه	+1/۱۹	-0/۹۷	0/۹۴	0/۸۵	

سری های زمانی محاسبه شده از دو روش، به ترتیب مربوط به آیستگاه های داران، شرق اصفهان، مبارکه، اصفهان و شهرضا با ضرایب نش ساتکلیف بالای ۹۰ درصد است. آنچه تاکنون مشخص است این که در مقایسه بین دو روش در آیستگاه های مختلف، تفاوت های یکسانی وجود ندارد. به عنوان مثال در آیستگاه کبوتر آباد تقریباً هر ساله، مقادیر PMFAO به روش HS از ET<sub>0</sub> بیشتر است. در آیستگاه اصفهان در بعضی از سال ها مقادیر HS بیشتر از PMFAO هستند و در بعضی سال ها بر عکس می باشد. مقادیر تفاوت دو روش به صورت درصد در جدول (۳) گزارش شد. تا این بخش از پژوهش تفاوت دو روش در آیستگاه های سینوپتیک به صورت نقطه ای و برای مقاطع زمانی روزانه، ماهیانه و سالانه مشخص شد. گام بعدی پژوهش، بررسی تفاوت دو روش با استفاده از کلیه آیستگاه های ثبت داده های درجه حرارت بود. برای این کار از مدل SWAT بهره گرفته شد. مقادیر ماهیانه ET<sub>0</sub> به روش HS از ۱۹۹۵ تا دسامبر ۲۰۱۸، برای ۲۴۲ زیر حوضه محاسبه و مقادیر درازمدت آن با روش کریجینگ به صورت یک نقشه هم تبخیر تعرق مرجع، در کل حوضه آبریز زاینده رود ترسیم شد که نشان دهنده مقدار متعدد درازمدت ET<sub>0</sub> در حوضه زاینده رود است (شکل ۷).

شکل (۶)، انطباق نسبتاً مناسب دو روش را برای آیستگاه سینوپتیک اصفهان به عنوان نمونه نشان می دهد.



شکل (۶): مقادیر ماهیانه تبخیر-تعرق مرجع پنمن ماتیت و هارگریوز در آیستگاه سینوپتیک اصفهان

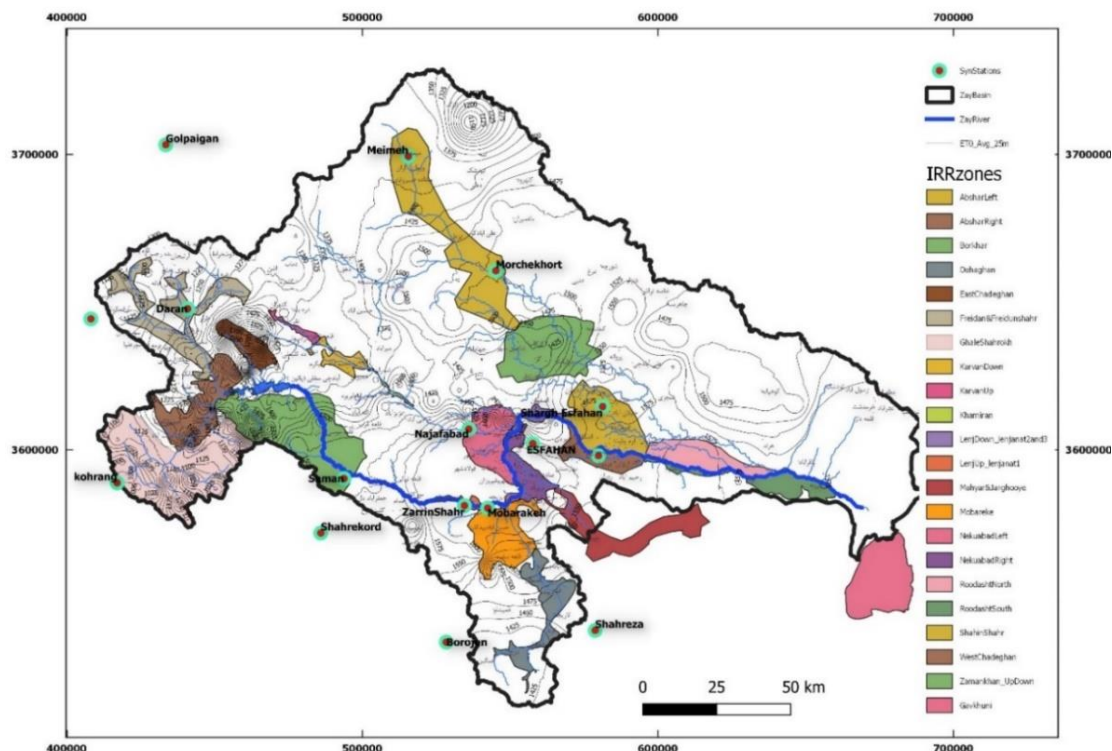
مقادیر ضریب نش ساتکلیف دو روش در جدول (۲) نشان دهنده انطباق نسبتاً خوب دو روش HS در گام ماهیانه است. بنابراین در صورتی که گام زمانی ماهیانه مد نظر باشد و فقط مقدار ET<sub>0</sub> هدف باشد، می توان توصیه نمود از روش HS به جای PMFAO استفاده کرد. نتایج بدست آمده در این پژوهش نشان داد که بیشترین انطباق

جدول (۳): درصد اختلاف دو روش PMFAO و HS در سال‌های مختلف به صورت متوسط سالانه

سال	اصفهان	شرق اصفهان	کبوتر آباد	داران	شهرضا	نجف آباد	مبارکه
۱۹۹۴	۶	-۴	۲۱	-۴	۱	-۱۷	۵
۱۹۹۵	۱۴	-۴	۴۶	-۲	-۴	-۱۱	۸
۱۹۹۶	۱۳	-۸	۲۵	-۷	-۱۰	-۱۱	۸
۱۹۹۷	۷	-۸	۲۱	-۷	-۱۱	-۱۳	۶
۱۹۹۸	۷	-۵	۳۱	-۷	-۸	-۱۳	۷
۱۹۹۹	۱۰	-۵	۲۴	-۶	-۹	-۱۳	۸
۲۰۰۰	۸	-۹	۲۱	-۹	-۳	-۱۴	۹
۲۰۰۱	۶	-۱۰	-۵	-۵	-۱۱	-۱۵	۷
۲۰۰۲	۲	-۸	۸	-۸	-۶	-۱۷	۵
۲۰۰۳	۷	-۶	۱۶	-۶	-۵	-۲۰	۹
۲۰۰۴	۱۱	-۷	۲۸	-۵	-۴	-۱۹	۹
۲۰۰۵	۱۰	-۷	۳۰	-۱	-۵	-۱۷	۶
۲۰۰۶	۳	-۹	۱۴	-۱	-۶	-۱۵	۶
۲۰۰۷	۳	-۱۰	۲۱	۶	-۳	-۱۳	۸
۲۰۰۸	۱	-۱۲	۱۶	-۳	-۱۴	-۱۸	-۲
۲۰۰۹	۵	-۱۴	۱۴	-۱۱	-۱۷	-۱۰	.
۲۰۱۰	۹	-۱۰	۱۸	-۹	-۱۷	-۱۱	۱۳
۲۰۱۱	۴	-۷	۱۱	-۱۲	-۱۶	-۱۵	.
۲۰۱۲	-۳	-۹	۸	-۱۱	-۱۵	-۱۶	.
۲۰۱۳	-۵	-۱۲	۶	-۱۲	-۱۳	-۱۶	۷
۲۰۱۴	-۴	-۱۰	-۱۰	-۸	-۱۲	-۱۳	۶
۲۰۱۵	-۸	-۱۳	۷	-۸	-۱۵	-۱۶	.
۲۰۱۶	-۵	-۱۲	۴	-۹	-۱۵	-۱۵	-۴
۲۰۱۷	۱	-۸	۸	-۸	-۱۵	-۵	-۲
۲۰۱۸	-۱	-۷	۳	-۸	-۱۳	-۵	-۲
۲۰۱۹	۳	-۷	۷	-۵	-۵	-۱۳	۸
میانگین	۴/۰۴	-۸/۵	۱۵/۰۸	-۶/۳۸	-۹/۶۵	-۱۳/۸۸	۴/۸۱

تطابق خوب این دو روش است. در شکل (۸) مقادیر متوسط سالانه  $ET_0$  برای حوضه زاینده‌رود طی سال‌های ۱۹۹۵ تا ۲۰۱۸ محاسبه و درج گردید.

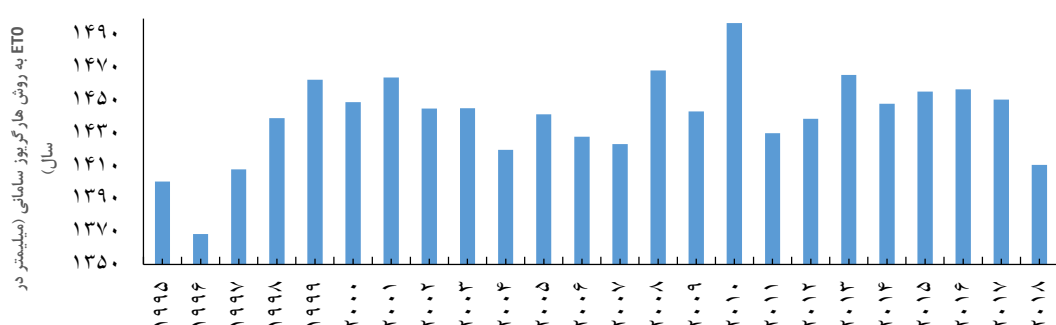
چنانچه مشاهده می‌شود مکان ایستگاه‌های سینوپتیک نیز روی شکل مشخص شد. در همه ایستگاه‌ها تفاوت بین روش PMFAO و HS کمتر از ۹/۵ درصد می‌باشد که نشان از



شکل (۷): ترسیم خطوط هم تبخیر تعرق مرجع به روش هارگریوز-سامانی در حوضه زاینده‌رود و جانمایی ایستگاه‌های سینوپتیک

داده‌های موجود تبخیر از تشت مورد تجزیه و تحلیل قرار گرفت. نمایش تبخیر از تشت و مقادیر  $ET_0$  به دو روش PMFAO و HS نشان دهنده انطباق بیشتر روش PMFAO با تشت تبخیر است. با داشتن مقادیر روزانه تبخیر از تشت، اقدام به برآورده متوسط ماهیانه این متغیر گردید. به این ترتیب محاسبه ضریب تشت، با برقراری نسبت تبخیر تعرق PMFAO و تبخیر از تشت در هر ماه میسر شد. جدول (۴) مقادیر ضریب تشت ماهیانه را نشان می‌دهد.

این مقادیر از حداقل ۱۳۶۹ میلی‌متر در سال ۱۹۹۶ تا حداقل ۱۴۹۷ میلی‌متر در سال ۲۰۱۰ تغییر می‌کند. طبق شکل ۸، متوسط  $ET_0$  حوضه ۱۴۴۰ میلی‌متر محاسبه شد. (Moratiel et al. 2020) در تحقیقات خود در حوضه دوئرای اسپانیا برای دوره زمانی ۲۰۰۰-۲۰۱۸ و تعداد ۴۹ ایستگاه اندازه‌گیری نشان دادند عملکرد مدل HS بسته به سالیانه یا فصلی بودن مقیاس زمانی، به طور قابل توجهی تغییر می‌کند و در مقیاس زمانی سالانه تطابق مناسب دو روش PMFAO و HS را تأیید کردند. در آخرین بخش پژوهش،



شکل (۸): مقادیر متوسط سالانه تبخیر تعرق مرجع به روش هارگریوز-سامانی در حوضه زاینده‌رود

جدول (۴): تبخیر از تشت، ضریب تشت و تبخیر-تعرق مرجع PMFAO و HS در بعضی ایستگاه‌های حوضه زاینده‌رود

ایستگاه	روش	زانویه	فوریه	مارس	آبریل	می	جنو	جولای	اکتبر	سپتامبر	نوامب	دسامبر
کبوترآباد	PMFAO	۲۸/۷۰	۸۹/۵۲	۱۱۳/۹۱	۱۳۵/۳۹	۱۷۸/۹۶	۱۹۰/۶۰	۱۹۷/۷۲	۱۶۸/۰۴	۱۲۶/۰۵	۸۸/۸۸	۴۸/۸۰
HS		۴۵/۹۴	۵۶/۷۹	۱۰۴/۵۷	۱۳۶/۴۴	۱۸۶/۳۵	۲۲۱/۹۱	۲۲۸/۲۴	۲۱۷/۲۲	۱۶۵/۱۰	۱۱۳/۲۹	۶۴/۰۷
تبخیر از تشت		۱۲۷/۱۰	۱۰۱/۵۰	۱۶۵/۱۰	۲۰۸/۴۴	۲۸۱/۵۰	۳۴۲/۲۳	۳۲۸/۲۲	۲۳۹/۳۵	۱۵۰/۷۳	۶۸/۲۳	۶۱/۲۸
ضریب تشت(Kp)		۰/۲۳	۰/۸۸	۰/۶۹	۰/۶۵	۰/۵۶	۰/۶۴	۰/۵۳	۰/۵۱	۰/۵۳	۰/۷۲	۰/۵۵
داران	PMFAO	۳۸/۹۲	*	۹۸/۹۱	۱۱۴/۸۳	۱۵۵/۵۰	۱۸۲/۹۴	۱۹۷/۸۲	۱۷۴/۷۹	۱۳۳/۳۵	۸۹/۴۱	۵۳/۳۵
HS		۳۵/۱۱	*	۸۱/۰۳	۹۹/۳۳	۱۳۹/۰۹	۱۷۳/۳۴	۱۸۹/۶۷	۱۷۴/۰۵	۱۳۲/۳۴	۸۶/۹۵	۵۰/۸۴
تبخیر از تشت		۵۲/۷۰	*	۱۳۶/۵۱	۱۶۲/۷۰	۲۳۰/۴۱	۲۹۴/۵۵	۳۴۳/۵۸	۳۲۰/۱۴	۲۴۱/۸۹	۱۵۳/۷۹	۷۷/۸۰
ضریب تشت(Kp)		۰/۷۴	*	۰/۷۲	۰/۷۱	۰/۶۹	۰/۶۸	۰/۵۸	۰/۵۵	۰/۵۳	۰/۶۹	۰/۱۹
شهرضا	PMFAO	*	*	۱۲۵/۳۷	۱۴۷/۴۲	۱۹۴/۵۰	۲۱۷/۷۲	۲۲۶/۷۳	۲۰۲/۲۷	۱۵۶/۴۰	۱۱۰/۰۹	۶۸/۸۸
HS		*	*	۹۷/۶۲	۱۲۲/۱۳	۱۶۹/۲۱	۲۰۳/۱۵	۲۱۵/۲۷	۱۹۷/۳۳	۱۵۲/۳۱	۱۰۴/۳۶	۶۰/۴۲
تبخیر از تشت		*	*	۲۱۳/۳۲	۲۴۴/۵۷	۳۴۴/۳۷	۴۱۸/۴۲	۴۵۵/۱۳	۳۱۷/۵۷	۲۱۸/۲۷	۱۲۰/۳۴	۹۲/۹۵
ضریب تشت(Kp)		*	*	۰/۵۹	۰/۶۰	۰/۵۶	۰/۵۲	۰/۵۰	۰/۴۹	۰/۵۰	۰/۵۷	۰/۶۱
نجف آباد	PMFAO	*	*	۱۳۸/۸۹	۱۴۷/۷۴	۱۵۶/۲۱	۲۱۱/۲۳	۲۴۳/۰۸	۲۲۴/۰۱	۱۷۵/۱۴	۱۲۶/۶۱	۶۶/۸۷
HS		*	*	۱۰۰/۶۸	۱۲۷/۳۸	۱۷۴/۷۸	۲۰۸/۹۰	۲۲۳/۹۹	۲۰۱/۲۲	۱۵۳/۵۸	۱۰۶/۶۸	۵۸/۴۴
تبخیر از تشت		*	*	۱۶۸/۸۷	۱۶۸/۸۷	۱۹۵/۰۵	۲۸۳/۹۵	۳۵۲/۳۰	۳۸۰/۸۰	۳۴۰/۴۲	۲۴۹/۶۴	۷۴/۷۰
ضریب تشت(Kp)		*	*	۰/۸۲	۰/۸۰	۰/۷۴	۰/۶۸	۰/۶۶	۰/۷۰	۰/۹۰	۰/۹۸	۰/۶۱
مبارکه	PMFAO	۱۲۴/۸۷	۱۴۱/۳۱	۱۸۷/۷۴	۲۰۴/۱۷	۲۱۳/۴۶	۲۱۳/۳۹	۱۸۶/۳۹	۱۴۳/۲۵	۱۰۰/۶۳	۵۶/۵۶	۴۴/۳۹
HS		۱۰۳/۴۴	۱۳۲/۱۳	۱۸۲/۶۴	۲۱۷/۱۲	۲۳۰/۰۴	۲۰۷/۰۶	۱۶۰/۲۳	۱۱۱/۹۱	۵۹/۷۵	۴۲/۳۲	
تبخیر از تشت		۱۵۲/۰۷	۱۷۹/۷۸	۱۷۹/۷۸	۲۵۶/۵۹	۲۵۶/۵۹	۳۳۹/۹۷	۳۷۰/۷۴	۳۲۵/۳۳	۲۴۱/۱۸	۱۵۷/۱۵	۵۹/۲۹
ضریب تشت(Kp)		۰/۸۲	۰/۷۹	۰/۷۳	۰/۷۰	۰/۶۴	۰/۶۰	۰/۵۷	۰/۵۹	۰/۸۰	۰/۷۵	۰/۷۵

قابل استفاده است. این مساله به ویژه در فصول باد خیز به مراتب اهمیت بیشتری می‌یابد. برای مقیاس زمانی ماهیانه و سالیانه، خطای استفاده از روش HS کاهش می‌یابد. بررسی تبخیر از تشت نیز نشان داد تبخیر تعرق PMFAO سازگاری بیشتری با تبخیر از تشت دارد. ضرایب تشت در ایستگاه‌های موردن بررسی تغییراتی از ۰/۲۳ تا ۰/۸۸ را نشان داد. با توجه به نتایج بالا، یک نقشه هم ET<sub>0</sub> برای حوضه آبریز رودخانه زاینده رود (شکل ۷) با کمک مدل نیمه توزیعی SWAT و استفاده از کلیه ایستگاه‌های ثبت درجه حرارت، استخراج شد و مقدار متوسط درازمدت ET<sub>0</sub> در حوضه ۱۴۴۰ میلی‌متر محاسبه گردید.

نتیجه گیری

روش برنامه‌ریزی مبتنی بر ET<sub>0</sub> رایج‌ترین روش برای برنامه‌ریزی آبیاری در کشاورزی و مدیریت منابع آب است و معادله PMFAO به عنوان دقیق‌ترین معادله برای تخمین ET<sub>0</sub> در نظر گرفته می‌شود (Rodrigues and Braga 2021). با این که تخمین ET<sub>0</sub> با استفاده از درجه حرارت (HS)، در مکان‌هایی که داده‌های سرعت باد، تابش خورشیدی و رطوبت هوا به راحتی در دسترس نیستند جذابیت خاصی دارد، نتایج نشان داد که عملکرد این روش بسته به مقیاس زمانی آن به طور قابل توجهی تغییر می‌کند. پژوهش حاضر نشان داد استفاده از روش HS با لحاظ کردن عدم قطعیت در مقیاس زمانی و مکانی،

## منابع

1. Allen R.G. 1996. Assessing integrity of data for reference evapotranspiration estimation. *Journal of Irrigation and Drainage Engineering*, 122(2):97-106. [https://doi.org/10.1061/\(ASCE\)0733-9437\(1996\)122:2\(97\)](https://doi.org/10.1061/(ASCE)0733-9437(1996)122:2(97))
2. Allen R.G., Pereira L.S., Raes D. and Smith M. 1998. FAO Irrigation and drainage paper No. 56. Food and Agriculture Organization of the United Nations, 56(97).
3. Almorox J., Quej V., and Marti P. 2015. Global performance ranking of temperature-based approaches for evapotranspiration estimation considering Koppen climate classes. *Journal of Hydrology*, 528:514-522. <https://doi.org/10.1016/j.jhydrol.2015.06.057>
4. Blaney H.F., and Criddle W.D. 1950. Determining Water Requirements in Irrigated area from climatological irrigation data. US Department of Agriculture, Soil Conservation Service, Washington.
5. Hargreaves G.H., and Samani Z.A. 1985. Reference crop evapotranspiration from ambient air temperature. *Applied Engineering in Agriculture*, 1:96-99. <http://dx.doi.org/10.13031/2013.26773>
6. Hargreaves G.H. 1975. Moisture availability and crop production. *Transactions of the ASAE*, 18(5):980-0984. doi: 10.13031/2013.36722
7. Hargreaves G.H., and Allen R.G. 2003. History and evaluation of Hargreaves evapotranspiration equation. *Journal of irrigation and drainage engineering*, 129(1):53-63. [https://doi.org/10.1061/\(ASCE\)0733-9437\(2003\)129:1\(53\)](https://doi.org/10.1061/(ASCE)0733-9437(2003)129:1(53))
8. Jensen M.E., and Haise H.R. 1963. Estimating evapotranspiration from solar radiation. *Journal of the Irrigation and Drainage Division*, 89:15-41. <https://doi.org/10.1061/JRCEA4.0000287>
9. Majidi M., Alizadeh A., Vazifedoust M., Farid A., and Ahmadi T. 2015. Analysis of the effect of missing weather data on estimating daily reference evapotranspiration under different climatic conditions. *Water Resources Management*, 29:2107-2124. <https://doi.org/10.1007/s11269-014-0782-0>
10. Monteith J.L. 1981. Evaporation and surface temperature. *Quarterly Journal of the Royal Meteorological Society*, 107(451):1-27. <https://doi.org/10.1002/qj.49710745102>
11. Moratiel R., Bravo R., Saa A., Tarquis A. M., and Almorox J. 2020. Estimation of evapotranspiration by the Food and Agricultural Organization of the United Nations (FAO) Penman-Monteith temperature (PMT) and Hargreaves-Samani (HS) models under temporal and spatial criteria—a case study in Duero basin (Spain). *Natural Hazards and Earth System Sciences*, 20(3):859-875. <https://doi.org/10.5194/nhess-20-859-2020, 2020>
12. Moreno-Tejera S., Ramirez-Santigosa L. and Silva-Perez M.A. 2015. A proposed methodology for quick assessment of timestamp and quality control results of solar radiation data. *Renewable Energy*, 78:531-537. <https://doi.org/10.1016/j.renene.2015.01.031>

13. Niranjan S., and Nandagiri L. 2021. Effect of local calibration on the performance of the Hargreaves reference crop evapotranspiration equation. *Journal of Water and Climate Change*, 12(6):2654-2673. <https://doi.org/10.2166/wcc.2021.360>
14. Penman H.L. 1948. Natural evaporation from open water bare soil and grass. *Proceedings of the Royal Society of London. Series A. Mathematical and Physical Sciences*, 193(1032):120-145. <https://doi.org/10.1098/rspa.1948.0037>
15. Priestley C.H.B. and Taylor R.J. 1972. On the assessment of surface heat flux and evaporation using large-scale parameters. *Monthly weather review*, 100(2):81-92.
16. Raziei T. and Pereira L.S. 2013. Estimation of ETo with Hargreaves–Samani and FAO-PM temperature methods for a wide range of climates in Iran. *Agricultural water management*, 121:1-18. <https://doi.org/10.1016/j.agwat.2012.12.019>
17. Rodrigues G.C., and Braga R.P. 2021. Estimation of reference evapotranspiration during the irrigation season using nine temperature-based methods in a hot-summer Mediterranean climate. *Agriculture, Environment and Development*, 11(2):124-150. <https://doi.org/10.3390/agriculture11020124>
18. Shah S. A. 2022. Hargreaves-Samani method: Estimation of historical annual, seasonal, and monthly Reference Evapotranspiration (ETo) in Dadu District Pakistan. *Journal of Applied Research in Water and Wastewater*, 9(1):30-39. [https://arww.razi.ac.ir/article\\_2173.html#:~:text=10.22126/arww.2022.7533.1237](https://arww.razi.ac.ir/article_2173.html#:~:text=10.22126/arww.2022.7533.1237)
19. Talebmorad H., Ahmadnejad A., Eslamian S., Ostad-Ali-Askari K., and Singh V. P. 2020. Evaluation of uncertainty in evapotranspiration values by FAO56-Penman-Monteith and Hargreaves-Samani methods. *International Journal of Hydrology Science and Technology*, 10(2):135-147. <https://doi.org/10.1504/IJHST.2020.106481>
20. Thornthwaite C.W. 1948. An Approach toward a Rational Classification of Climate. *Geographical Review*, 38:55-94. <https://doi.org/10.2307/210739>
21. Walter I.A., Allen R.G., Elliott R., Itenfisu D., Brown P., Jensen M.E., Mecham B., Howell T.A., Snyder R., Eching S., and Spofford T. 2005. Task committee on standardization of reference evapotranspiration. ASCE Reston, USA. [https://www.academia.edu/download/40733466/ASCE\\_method.pdf](https://www.academia.edu/download/40733466/ASCE_method.pdf)
22. Xia X., Zhu X., Pan Y., and Zhang J. 2020. A monthly regression correction model for the Hargreaves–Samani method in Mainland China. *Irrigation and Drainage*, 69(4):880-890. <https://doi.org/10.1002/ird.2445>

## Comparison of the Daily, Monthly and Annual Time Steps in Hargreaves-Samani and Penman-Monteith-FAO Models to Estimate Reference Evapotranspiration in the ZayandehRud Basin

Esmaeil Adib Majd<sup>\*</sup> <sup>1</sup>, Rasoul Mirabbasi<sup>2</sup>, Mahdi Asadi<sup>3</sup>, Sayed Hassan Tabatabaei<sup>4</sup>

DOI: 10.22103/nrswe.2023.21236.1034

### Abstract

Reference evapotranspiration ( $ET_0$ ) is the maximum amount of water transpiration for a particular vegetation cover (such as grass, alfalfa, or a standard crop area). FAO 56 report emphasis, is on measuring meteorological parameters at a height of two meters above green grass. Cultivation around the station should be on a wide area and there is no shortage of water. Agricultural meteorological stations covering a certain territory around them record the same meteorological conditions as the surrounding plants. The Penman-Monteith-FAO (PMFAO) equation was proposed to calculate  $ET_0$  and the use of alternative method was not recommended. In the present research, the Hargreaves-Samani (HS) method and the PMFAO method were evaluated on daily, Monthly and yearly time steps in the ZayandehRud basin over a period of 25 years from 1995 to 2019. The results showed that in the daily time step, the difference between the two methods is large (Nash coefficient from 0.63 to 0.87). In the monthly time step, the difference is generally negligible (Nash coefficient from 0.8 to 0.96). In annual time step (Nash coefficient above 0.8), the results are very close to each other. But in different stations, the same behavior was not seen, for example, in Kabutabad station, in contrast to East Isfahan station, almost always,  $ET_0$  by HS method is higher than PMFAO. Therefore, in practice, to use  $ET_0$  by HS method, it is recommended to verify and evaluate at least with the nearest synoptic station and PMFAO method and then use it.

**Keywords:** Reference evapotranspiration, Zayandehrud Basin, Penman- Monteith FAO method, Hargreaves Samani method, Evaporation pan coefficient, Reference evapotranspiration iso map.

<sup>1\*</sup>- Corresponding Author and Ph.D. Candidate in Water Resources Engineering, Department of Water Engineering, Shahrekord university, Shahrekord, Iran. Email: e.adibmajd@stu.sku.ac.ir

<sup>2</sup> - Associate Professor, Department of Water Engineering, Shahrekord University, Shahrekord, Iran.

<sup>3</sup> - Associate Professor, Department of Water Engineering, Shahrekord University, Shahrekord, Iran.

<sup>4</sup> - Associate Professor, Department of Water Engineering, Shahrekord University, Shahrekord, Iran.